Տեխնիկական գիտութ. սեբիա

XIV, № 5, 1961

Серия технических наук

ЭЛЕКТРОТЕХНИКА

Ю. М. ШАХНАЗАРЯН

ИЧИ И НАПРЯЖЕНИЯ В ЭЛЕКТРИЧЕСКОЙ СИСТЕМЕ ПРИ УСТАНОВИВШЕМСЯ АСИНХОННОМ РЕЖИМЕ ГИДРОГЕНЕРАТОРА*

Длительное время асинхронные режимы в электрических системах считались недопустимыми, ввиду их нежелательного воздействия на энергосистему и педостаточной их изученности.

В настоящее время в энергосистемах допускаются режимы, в которых отдельные возбужденные генераторы или группы генераторов некоторое время работают несинуронно. При этом параметры режима системы в целом или отдельных ее участков могут претерпевать значительные изменения.

Для выяснения допустимости таких режимов необходимо знать как токи в отдельных участках электрической системы, так и напряжения на отдельных ее элементах. Наличие сложной связи между параметрами режима, параметрами машины и системы не позволяют получить строгого решения получающихся уравнений. В большинстве случаев приходится ограничиваться упрощенным решением задачи, дающим общую приближенную характеристику режима.

Асинхронный режим является колебательным процессом, вызывающим периодические колебания токов, напряжений, активной и реактивной мощности. Эти колебания отрицательно влияют на работу потребителей электрической энергии и на устойчивость параллельной работы входящих в энергосистему станций.

Рассмотрим режим работы генератора с продольно-поперечными успокоительными обмотками на системы большой мощности при на-

личии промежуточной нагрузки, рис. 1. С целью упрощения будем считать параметры генератора и передачи линейными. Не будем учитывать насыщение машины. Скольжение будем считать положительным при скорости ротора ниже синхронной.

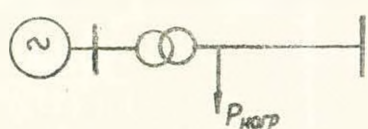


Рис. 1. Принципиальная схема.

^{*} Настоящая статья отражает работу, выполненную автором на кафедре электрических систем, МЭИ под руководством проф. В. А. Веникова.

Для явнополюсного генератора приближенное выражение тока получим [1] через составляющие:

$$I_{d} = \frac{1}{1 + \frac{x_{d} - x_{q}}{Z_{11}}} \cos \alpha_{11} \left| \frac{E_{d}}{Z_{11}} \cos \alpha_{11} + \frac{E_{q}}{Z_{11}} \sin \alpha_{11} - \frac{U}{Z_{12}} \cos (\delta - \alpha_{12}) \right|$$

$$I_{q} = \frac{E_{d}}{Z_{11}} \sin \alpha_{11} - \frac{E_{q}}{Z_{11}} \cos \alpha_{11} + \frac{U}{Z_{12}} \sin (\delta - \alpha_{12})$$

$$(1)$$

Здесь в поперечной составляющей член $I_d \cdot \frac{x_d - x_q}{Z_{11}} \sin \alpha_{11}$ опущен.

При асинхронном режиме, вследствие перемещения ротора генератора относительно поля системы, в роторных контурах наводятся э. д. с. Наводимые э. д. с. определяются согласно уравнений Парка-Горева. Вводя ряд упрощающих допущений и предполагая, что постоянная времени обмотки возбуждения значительно превышает постоянные времени успоконгельных обмоток [2—3] при постоянстве скольжения будем иметь:

$$\Delta E_{d} = -\frac{U}{Z_{12}} \cdot \frac{x_{d} - x_{d}}{1 - \frac{x_{d} - x_{d}}{Z_{11}}} \cdot \frac{ST_{d}}{1 + (ST_{d})^{2}} \sin (\delta - z_{12}) - \frac{U}{Z_{12}} \cdot \frac{x_{d} - x_{d}}{1 - \frac{x_{d} - x_{d}}{Z_{11}}} \cos z_{11} \cdot \frac{(ST_{d})^{2}}{1 + (ST_{d})^{2}} \cos (\delta - z_{12})$$

$$\Delta E_{d1} = -\frac{U}{Z_{12}} \cdot \frac{x_{d} - x_{d}}{\left(1 - \frac{x_{q} - x_{d}}{Z_{11}} \cos z_{11}\right) \left(1 - \frac{x_{q} - x_{d}}{Z_{11}} \cos z_{11}\right) \cdot \frac{ST_{d}}{1 + (ST_{d}^{2})^{2}} \sin (\delta - z_{12}) - \frac{U}{Z_{12}} \cdot \frac{x_{d} - x_{d}}{Z_{11}} \cos z_{11}\right) \left(1 - \frac{x_{q} - x_{d}}{Z_{11}} \cos z_{11}\right) \cdot \frac{(ST_{d}^{2})^{2}}{1 + (ST_{d}^{2})^{2}} \cos (\delta - z_{12}) + \frac{U}{Z_{12}} \cdot \frac{x_{q} - x_{q}}{1 - \frac{x_{q} - x_{q}}{Z_{11}} \cos z_{11}} \cdot \frac{(ST_{q}^{2})^{2}}{1 + (ST_{q}^{2})^{2}} \sin (\delta - z_{12}) + \frac{U}{Z_{12}} \cdot \frac{x_{q} - x_{q}}{1 - \frac{x_{q} - x_{q}}{Z_{11}} \cos z_{11}} \cdot \frac{(ST_{q}^{2})^{2}}{1 + (ST_{q}^{2})^{2}} \sin (\delta - z_{12}).$$

(2)

где ΔE_d , ΔE_{d_1} ΔE_{q_1} э. д. с. наводимые в обмотке возбуждения и в услокоительных обмотках.

С учетом наводимых э. д. с. уравнение токов (1) запишем:

$$I_{d} = \frac{1}{1 + \frac{x_{d} - x_{q}}{Z_{11}}} \cos \alpha_{11} + \frac{\Delta E_{d}}{Z_{11}} \cos \alpha_{11} + \frac{\Delta E_{d1}}{Z_{11}} \cos \alpha_{11} - \frac{\Delta E_{d1}}{Z_{11}} \cos \alpha_{11} - \frac{\Delta E_{d1}}{Z_{11}} \sin \alpha_{11} - \frac{U}{Z_{12}} \cos (\delta - \alpha_{12}) \right],$$

$$I_{q} = \frac{E_{d}}{Z_{11}} \sin \alpha_{11} + \frac{\Delta E_{d}}{Z_{11}} \sin \alpha_{11} + \frac{\Delta E_{d1}}{Z_{11}} \sin \alpha_{11} - \frac{\Delta E_{q1}}{Z_{11}} \cos \alpha_{11} + \frac{U}{Z_{12}} \sin (\delta - \alpha_{12}).$$
(3)

Для простоты дальнейшей записи обозначим:

$$a = \frac{x_d - x_d}{1 - \frac{x_q - x_d}{Z_{11}} \cos \alpha_{11}} \qquad c = \frac{x_q - x_q}{1 - \frac{x_q - x_d}{Z_{11}} \cos \alpha_{11}}$$

$$b = \frac{x_d - x_d}{\left(1 - \frac{x_q - x_d}{Z_{11}} \cos \alpha_{11}\right) \left(1 - \frac{x_q - x_d}{Z_{11}} \cos \alpha_{11}\right)}$$

Подставляя зависимости (2) в уравнение (3) и учитывая соответствующие обозначения, после преобразований получим:

$$I_{d} = \frac{1}{1 + \frac{x_{d} - x_{q}}{Z_{11}}} \left[\frac{F_{d}}{Z_{11}} \cos \alpha_{11} - \frac{U}{Z_{12}} \right] \frac{a}{Z_{11}} \cdot \frac{ST_{d}}{1 + (ST_{d})^{2}} \cos \alpha_{11} + \frac{U}{Z_{11}} \left[\frac{a}{Z_{11}} \cdot \frac{ST_{d}}{1 + (ST_{d})^{2}} \cos \alpha_{11} + \frac{U}{Z_{11}} \right] + \frac{b}{Z_{11}} \cdot \frac{(ST_{d}^{2})^{2}}{1 + (ST_{d}^{2})^{2}} \sin \alpha_{11} = \frac{c}{Z_{11}} \cdot \frac{(ST_{d}^{2})^{2}}{1 + (ST_{d}^{2})^{2}} \cos \alpha_{11} + \frac{c}{Z_{11}} \cdot \frac{ST_{d}}{1 + (ST_{d}^{2})^{2}} \cos \alpha_{11} + \frac{b}{Z_{11}} \cdot \frac{ST_{d}}{1 + (ST_{d}^{2})^{2}} \sin \alpha_{11} + \frac{b}{Z_{11}} \cdot \frac{ST_{d}}{1 + (ST_{d}^{2})^{2}} \sin \alpha_{11} + \frac{b}{Z_{11}} \cdot \frac{(ST_{d}^{2})^{2}}{1 + (ST_{d}^{2})^{2}} \sin \alpha_{11} + \frac{c}{Z_{11}} \cdot \frac{(ST_{d}^{2})^{2}}{1 + (ST_{d}^{2})^{2}} \sin \alpha_{11} + \frac{c}{Z_{11}} \cdot \frac{(ST_{d}^{2})^{2}}{1 + (ST_{d}^{2})^{2}} \sin \alpha_{11} - \frac{c}{Z$$

$$-\frac{ST_q^*}{1+(ST_q^*)^2}\cos\alpha_{11}\left|\cos\left(\delta-\alpha_{12}\right).\right| \tag{4}$$

Обозначия выражение в квадратных скобках перед sin $(\delta-\alpha_{12})$ через D_1 (s) и выражение в квадратных скобках перед cos $(\delta-\alpha_{12})$ через D_2 (s) — в продольном составляющем тока и соответственно D_3 (s) и D_4 (s) в поперечном составляющем тока, получим:

$$I_{d} = \frac{E_{d}}{Z_{11}} \left(1 + \frac{x_{d} - x_{q}}{Z_{11}} \cos \alpha_{11}\right)^{\cos \alpha_{11}}$$

$$\frac{U}{Z_{12} \left(1 + \frac{x_{d} - x_{q}}{Z_{11}} \cos \alpha_{11}\right)} + D_{1}(s) \sin \delta - \alpha_{12} + D_{2}(s) \cos (\delta - \alpha_{12}) \right\},$$
(5)

$$I_q = \frac{E_d}{Z_{11}} \sin \alpha_{11} - \frac{U}{Z_{12}} \{D_3(s) \sin (\delta - \alpha_{12}) + D_4(s) \cos (\delta - \alpha_{12})\}.$$

Уравнение (5) может быть представлено в виде:

$$I_{d} = \frac{E_{d}}{Z_{11}} \left(1 + \frac{x_{d} - x_{d}}{Z_{11}} \cos \alpha_{11} \right) - A \sin (\delta - \alpha_{12} + \alpha),$$

$$I_{d} = \frac{E_{d}}{Z_{11}} \sin \alpha_{11} - B \sin (\delta - \alpha_{12} + \beta),$$
(6)

где
$$A = \frac{U}{Z_{12} \left(1 + \frac{x_d - x_g}{Z_{11}} \cos \alpha_{11}\right)} \qquad D_1^2(s) + D_2^2(s),$$

$$B = \frac{U}{Z_{12}} \sqrt{D_3^2(s) + D_4^2(s)}, \qquad \alpha = arc \text{ tg } \frac{D_2(s)}{D_1(s)},$$

$$\beta = arc \text{ tg } \frac{D_4(s)}{D_2(s)}.$$

Уравнение (6) представляет собой уравнение эллипса в параметрическом виде, центр которого не совпадает с началом координат. Геометрическим местом конца вектора тока, как это видно из приведенного рисунка 2, является эллипс, диаметры которого:

$$2a = \sqrt{A^2 + B^2 + 2AB} \sin(\beta - \alpha) + \sqrt{A^2 + B^2 - 2AB} \sin(\beta - \alpha),$$

$$2b = \sqrt{A^2 + B^2 + 2AB} \sin(\beta - \alpha) + \sqrt{A^2 + B^2 - 2AB} \sin(\beta - \alpha).$$
(7)

Положение эллинса определяется углом γ образуемый большой осью с координальной осью q

$$\gamma = arc \operatorname{tg} \frac{A^2 - B^2 + \sqrt{(A^2 - B^2)^2 + 4A^2B^2 \cos^2(\beta - \alpha)}}{2AB \cos(\beta - \alpha)}$$
 (8)

Уравнение (6) представляет кривую биения, где половина максимума биения определяется отрезком прямой от начала координат до максимальной точки эллипса и соответственно половина минимума кривой биения — отрезком до минимальной точки эллипса (рис. 2).

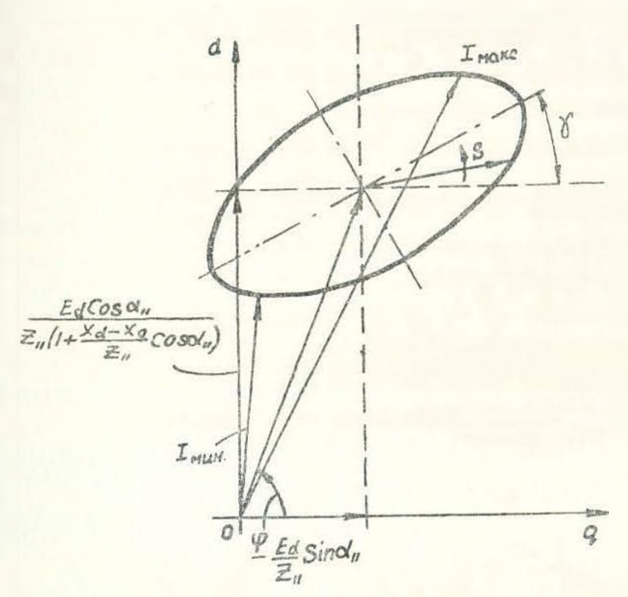


Рис. 2. Эллипс токов.

При невозбужденном генераторе и закороченной обмотке возбуждения, центр эллнпса совпадает с началом координат и максимум и минимум кривой биения определяются большим и малым полудиаметрами эллипса.

Следовательно для того чтобы получить полные значения тока генератора в асинхронном режиме с постоянным скольжением на токи эллипса ипределяемые при работе генератора с короткозамкнутой обмоткой

Рис. 3. Расчетная схема электропередачи. Параметры тенератора $x_d=0,516$, $x_q=0,322, x_d'=0,180, x_d=0,137$ $T_{d0}=5,5$ сек, $T_{d0}=0,0255$ сек, $T_{d0}=0,0112$ сек. Сопротивления отнесены к напряжению 430 вольт.

возбуждения, должны быть наложены токи режима получающиеся при работе генератора на шины с напряжением равным нулю.

Составляющие падения напряжения в линии можно определить умножив уравнение (5) на соответствующее сопротивление до точки. где хотим определить напряжение, при этом надо учесть и угол внешнего сопротивления.

Запишем величину напряжения на зажимах нагрузки (рис. 1) в виде:

$$U_{dn} = E_d - \frac{E_d \cdot Z_{bn} \cos \alpha_{11}}{Z_{12} \left(1 + \frac{x_d - x_g}{Z_{11}} \cos \alpha_{11}\right)} - A' \sin (\delta - \alpha'_{12} + \alpha'),$$

$$U_{gn} = \frac{E_d}{Z_{11}} Z_{bn} \cdot \sin \alpha'_{11} - B' \sin (\delta - \alpha'_{12} + \beta').$$
(9)

Величины A', B', α' и β' — определяются также, как и выше, но при их определении надо учитывать и внешнее сопротивление. Здесь Z_{bh} — полное сопротивление до точки нагрузки, включая и реактивное сопротивление генератора. В углах α_{11} и α_{12} учтено и внешнее сопротивление.

Положение эллипса напряжений и его диаметры определяются по формулам (7) и (8) с соответствующей заменой величин A', B', α' и β' вместо A, B, α и β . Уравнение (9) представляет кривую биения аналогично уравнению (6).

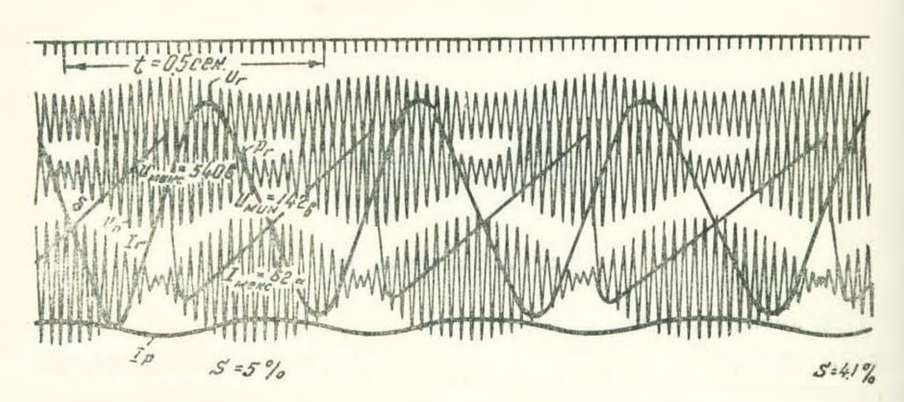


Рис. 4. Осциллограмма опыта установившегося асинхронного хода.

Не трудно представить, что для каждого значения скольжения будем иметь свой эллипс тока и напряжения.

Результаты проведенных расчетов и их сравнение с экспериментальными данными показали, что определение токов и напряжений в установившемся асинхронном режиме с достаточной для практики точностью может производиться по изложенной методике.

При работе генератора на длинную линию передачи, машину можно приближенно считать симметричной в электрическом и магнитном отношениях, что существенно облегчает расчет [4].

Предлагаемая методика расчета может быть успешно применена для расчета асинхронного хода в сложной системе, в частности при асинхронном ходе станции из трех и более станций и определение напряжения в узловой точке — определяющей устойчивость оставщихся в синхронизме станций.

В качестве примера в таблице приведено сопоставление результатов экспериментальных и расчетных значений токов и напряжений

| Нормальный режим | | | | Режим асинхронного хода | | | | | | | | | | | | | | |
|------------------|-------|------------------|-------------|-------------------------|--------|-----------|----------------|---------------------|---------------------|-------|------|------|----------------------|---------------------------------|----------|------|------------------|-------|
| P_{Γ} | Qr | U_{r} | $U_{\rm c}$ | S | рад | ү град | /, при Uc=0 | I_2 при $E_1 = 0$ | I _{Makc} . | | φ' | γ' | $U_{1^{\mathrm{H}}}$ | U _{2H} | Uн макс. | | $U_{\rm H}$ мин. | |
| | | | | | | | | | расчет. | опыт. | град | град | при | при <i>E</i> _г =0 | расчет. | опыт | расчет. | опыт |
| 0,486 | 0,093 | 1,02 | 0,996 | 0,10 | 80-30' | 50° | 1,51 | 1,92 | 3,40 | 3,37 | 89° | 86° | 0,515 | 0,915 | 1,40 | 1,34 | 0,410 | 0,397 |
| | | | | 0,05 | 80° | 80° | 1,39 | 1,89 | 3,25 | 3.10 | 893 | 86° | 0,500 | 0,895 | 1,39 | 1,25 | 0,39 | 0,330 |
| | | | | 0,03 | 80 | 90° | 1,33 | 1,87 | 3.15 | 3,02 | 893 | 86° | 0,500 | 0,890 | 1,38 | 1,25 | 0,39 | 0,330 |
| | | | | 0,01 | 80° | 90° | 1,32 | 1,85 | 3.10 | | 89 | 86° | 0,500 | 0,890 | 1,38 | _ | 0,39 | 0,330 |
| | | | | 0,005 | 80° | 90° | 1,32 | 1,85 | 3,10 | | 89° | 86° | 0,500 | 0,890 | 1,38 | _ | 0,39 | 0,330 |

для схемы рис. 3, при установившемся асинхронном ходе генератора не имеющего автоматического регулятора возбуждения.

Расчеты и измерения тока генератора и напряжения на нагрузке приведены для ряда установившихся скольжений генератора. Опытные данные для скольжения ниже s=0.03 не приведены в таблице так как при этих скольжениях генератор начинает втягиваться в синхронизм.

На рис. 4 для сопоставления приведена осциллограмма установившегося асинхронного хода генератора расчетной схемы при скольжении s=0.05.

Работа проводилась в Московском энергетическом институте на кафедре электрических систем.

Московский энергетический институт

Поступило 25 IV 1961

and, Մ. ՇԱՀՆԱԶԱՐՁԱՆ

ՀՈՍԱՆՔՆԵՐԸ ԵՎ ԼԱՐՈՒՄՆԵՐԸ ԼԼԵԿՏՐԱԿԱՆ ՍԻՍՏԵՄՈՒՄ ՀԻԳՐՈԳԵՆԵՐԱՏՈՐՆԵՐԻ ԿԱՅՈՒՆԱՑԱԾ ԱՍԻՆԽՐՈՆ ՌԵԺԵՄԻ ԳԵՊՔՈՒՄ

Hidhnihned

Աշխատությունում ուսումնասիրված է միջանկյալ բեռնավորումով, անփոփոխ լարման շինաների միացված, հիղրողեներտաորի կայունացած ասինկորոն ռեժիմը։ Որոշակի ենթադրություններով, օգտվելով Պարկ-Գորևի հայտնի հավասարումից, դուրս է բերված գեներատորի հոսանջների և բեռնավորման սեղմակներում լարման հովասարումները (6) և (9)։

Ցույց է տրված, որ այս հավասարումները իրենցից ներկայացնում են էլիպսի հավասարումը պարամետրիկ տեսքով, որի կենտրոնը չի համընկնում կոորդինատների սկզբի հետւ էլիպսի հավասարումները (6) և (9) ըստ ժամանակի իրենցից ներկայացնում են բաբախման կորը, որտեղ բաբախման մաքսիմումի կեսը որոշվում է ուղիղ հատվածով, սկսած կոորդինատների սկզբից մինչև էլիպսի մաքսիմում հեռացված կետը և համապատասիսնորեն բաբախման կորի մինիմումի կետը, տպա ուղիղ հատվածով՝ սկսած կոորդինատների սկզբից մինչև էլիպսի մինիմում հեռացված կետը։

Բերված աղյուսակից, որտեղ արտացոլված են Հաշվման և էքապերիմենտալ արդյունքները՝ կատարված կոնկրետ սկսեմայի Համար (նկ. 3), երևում է, որ առաջարկված բանաձևերը տալիս են որտկարիկ հաշվումների համար բավականին ընդունելի արդյունքներ։

ЛИТЕРАТУРА

- 1. Лебедев С. А. и Жданов П. С. Устойчивость параллельной работы электрических систем. Госэпергоиздат, 1934.
- 2- Веников В. А. Дальние электропередачи, Госэпергоиздат, 1960.
- 3. Веников В. Л. и Жуков Л. А Переходные процессы в электрических системах Госэнергоиздат, 1953.
- Мамиконянц Л. Г., Совалов С. А., Хачатуров А. А. Асинхронные режимы, несипхронные включения и ресинхронизация генераторов Куйбышевской ГЭС, "Электричество", № 11, 1957.
- Урусов И. Д. Линейная теория колебаний синхронной манины. Издательство АН СССР, 1960.